

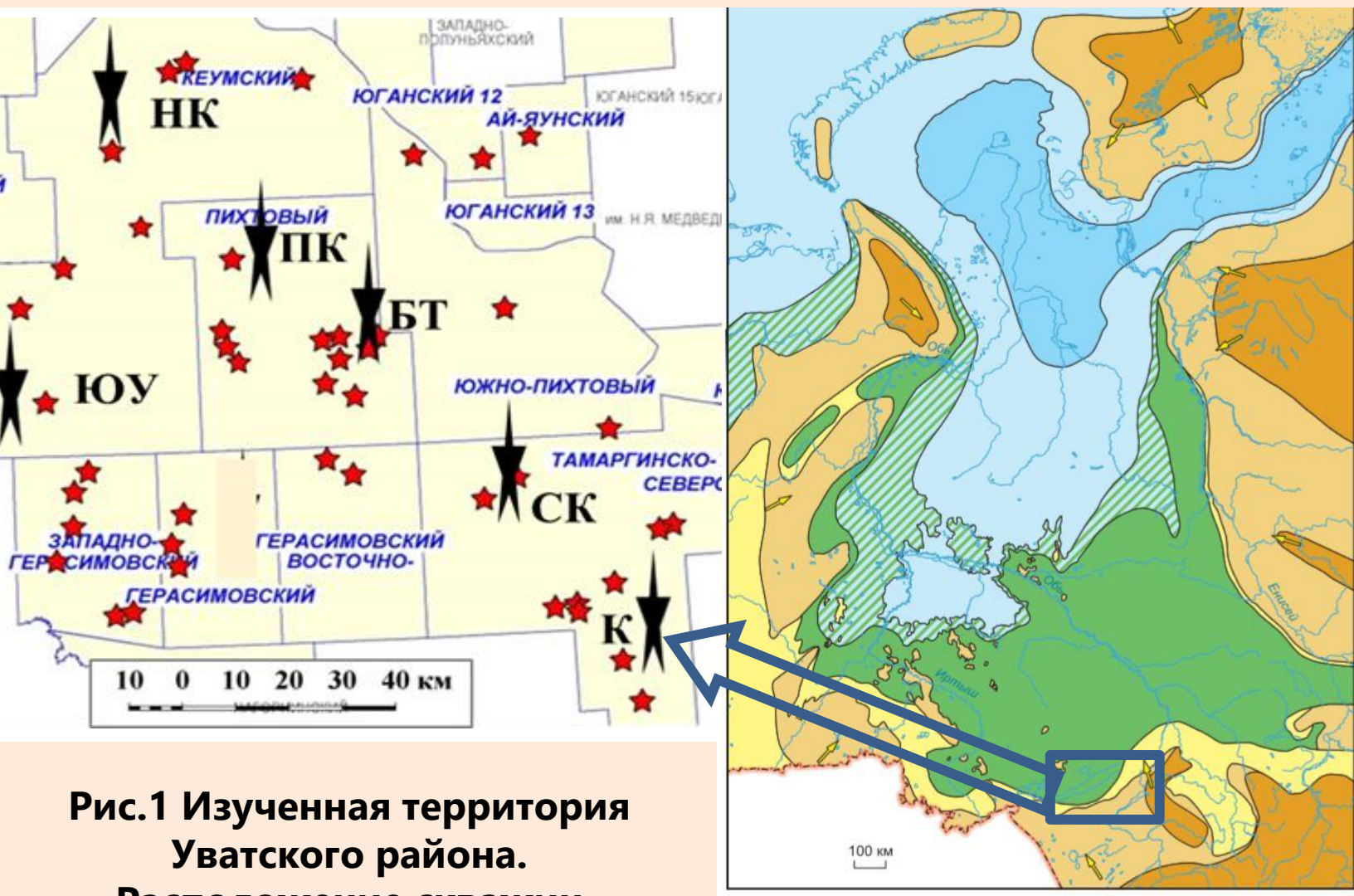
ABSTRACT

Проведены оригинальные исследования изучена коллекция образцов (150 обр.) рассеянного органического вещества, а также из углей и углистых пород из пластов Ю2, Ю3, Ю4 тюменской свиты (суммарный разрез 306 м) из 6 скважин Уватского района Западно-Сибирского нефтегазоносного бассейна. Площади расположены в направлении северо-запад юго-восток: Нижнекуемская (НК)- Пекманская (ПК)- Большешарматинская (БШ)-Северо-Коптанская (СК). На западе изученной территории расположены - Южно-Уимская (ЮУ); на юго-востоке Когилкинская (К) площади (рис.1). Охарактеризованы микрокомпоненты углистого вещества в углететрографических шлифах, определена степень их катагенетической преобразованности.

Original research was carried out and a collection of samples (150 samples) of dispersed organic matter, as well as from coal and carbonaceous rocks from the layers of the Y2, Y3, and Y4 of the Tyumen formation (total section of 306 m) from 6 wells of the Uvatsky district of the West Siberian oil and gas basin was studied. The squares are located in the north-west-south-east direction: Nizhnekuemskaya (NK)- Pekmanskaya (PK)- Bolshetamarginskaya (BT)-Severo-Koptanskaya (SK). In the west of the studied territory there are the Yuzhno-Uimskaya (YUU); in the southeast, the Kogilkiyskaya (K) area (Fig.1). Micro-components of carbonaceous matter in carbon-petrographic sections are characterized, the degree of their catagenetic transformation is determined.

INTRODUCTION

Цель исследований: комплексный анализ параметров, характеризующих рассеянное органическое вещество (POB) в образцах керны из пластов юрских пород. В изученных скважинах оценить способности рассеянного и углистого вещества пород к генерации углеводородов. «Восстановлены» условия накопления и тип POB, его катагенетическая преобразованность. Оценено качество POB и его способность к генерации углеводородов пиролитическим методом исследования. Дополняющими и уточняющими методами являются углететрографическое изучение мацералов углистого вещества и растровая электронная микроскопия, позволяющая установить аттрибутое POB в породах, его взаимодействие с минеральной матрицей. Задачи: углететрографическим методом определить тип углистого вещества пород, охарактеризовать микрокомпонентный состав, определить структуру и сохранность мацералов, а также оценить степень их катагенетической преобразованности.



Охарактеризованы углететрографические шлифы, изучены в проходящем свете микрокомпоненты углистого вещества.

В изученной коллекции все образцы углей относятся к категории каменных. У всех образцов углей цвет черный. Большинство образцов в той или иной степени трещиноваты, преобладают горизонтальные трещины. У блестящих углей блеск стеклянный.

Проведён анализ формы, структуры, цвета и распределения фрагментов углистого вещества (детрита) в породе, а также в углистых прослоях.

Палеогеографическая схема Западной Сибири. Юрский период, батский век (Конторович и др., 2013)

Paleogeographic scheme of Western Siberia. Jurassic period, Bathonian stage

Рис.1 Изученная территория Уватского района. Расположение скважин

FACTUAL MATERIALS AND METHODS

Изучен микрокомпонентный состав углистого вещества. Углистое вещество состоит из мацералов: витринита, липтинитовых компонентов, включающих кутинит (кутикула), резинит (смоляные тела) и споринит (микро-и макроспоры). Комковато-сгустковое строение основного преобладающего микрокомпонента - витринита свидетельствует о катагенетической преобразованности углистого вещества в диапазоне от протокатагенеза до начальной стадии мезокатагенеза (ранней зоны нефтеобразования).

RESULTS

Метод пиролитический (рис.2)

Наиболее обогащены POB глинисто-кремневые породы, кремнево-карбонатные и кремнево-глинистые, аргиллиты, а также карбонатно-кремневые породы. Массовая доля Сорг изменяется в пределах 1,9-19,26%. среднее содержание Сорг составляет 12%.

POB пород в изученном разрезе тюменской свиты преобразовано до мезокатагенеза стадии МК1, или «ранней зоне нефтеобразования».

POB пласта Ю1 и отдельных пропластков пластов Ю2, Ю3 и Ю4 обладает способностью генерировать УВ. Свободные УВ параметр S1 изменяется от 0,76 до 19 мгУВ/мг породы

В образцах углистых алевролитов и аргиллитов содержание Сорг составляет от 5,6 до 55%.

Образцы углистых пород и прослоев угля содержат ОВ, соответствующее III типу керогена, преобразованное до стадии мезокатагенеза МК11-МК12. POB имеет хороший генерационный потенциал 157-635 мгУВ/г Сорг и обладает способностью к генерации преимущественно углеводородов газа.

Метод углететрографии (рис.3, 4)

Пласт Ю2 изучен во всех скважинах (6) и в нём охарактеризован микрокомпонентный состав (МКС) углистого вещества. В микрокомпонентном составе преобладает витринит (Vt) вишнево-красный тонковолокнистый комковато-сгустковый, составляющий свыше 80%.

Преобладающим микрокомпонентом в углистом веществе во всех пластах является витринит.

Среди липтинитовых компонентов (L) отмечаются резинит (Lr) (смоляные тельца): линза желтого резинита (Lr) на площади Южно-Уимская гл. 2800,04 м; линзы резинита (Lr) оранжево-желтого цвета на площади Северо-Коптанская гл. 2677,31 м.

Макроспоры (Ls) выявлены: макроспора (Ls) желтая на площади Северо-Коптанская гл. 2677,31 м; макроспоры (Ls) оранжево-желтого цвета на площади Большешарматинская гл. 2600,86 м.

Микрокомпонентный состав пласта Ю3 охарактеризован на 6 площадях:

Обильное содержание линз оранжево-желтого резинита (Lr) более 30% отмечается на гл. 2900,7 м площади Нижнекуемская. Макроспоры (Ls) выявлены на гл. 2839,07 м площади Южно-Уимской. Кутинит (Lk) фрагменты кутинита (Lk) лимонно-желтого цвета. отмечен на гл. 2901,1 м Нижнекуемская площади.

Линзы ячеистой ткани фузинита (F) отмечены на гл. 2839,07 м Южно-Уимской площади.

Микрокомпонентный состав пласта Ю4 охарактеризован на 2 площадях:

Фрагменты кутинита (Lk) отмечаются на гл. 2646,43 м Большешарматинской площади. Макроспора (Ls) зафиксирована на гл. 3165,72 м Пекманской площади.

Метод растровой электронной микроскопии (РЭМ)(рис.5)

Битуминозное вещество в породах пласта Ю2:

Капля битуминозного вещества зафиксирована в аргиллите с глубины 2805,76 м Южно-Уимской площади. Снимок с увеличением x2800. Капля битуминозного вещества отмечается в алевролите с глубины 2499,56 м Когилкинской площади. Снимок с увеличением 3000x. Линзы битуминозного вещества присутствуют в аргиллите с глубины 2664,17 м Северо-Коптанской площади. увеличение x250.

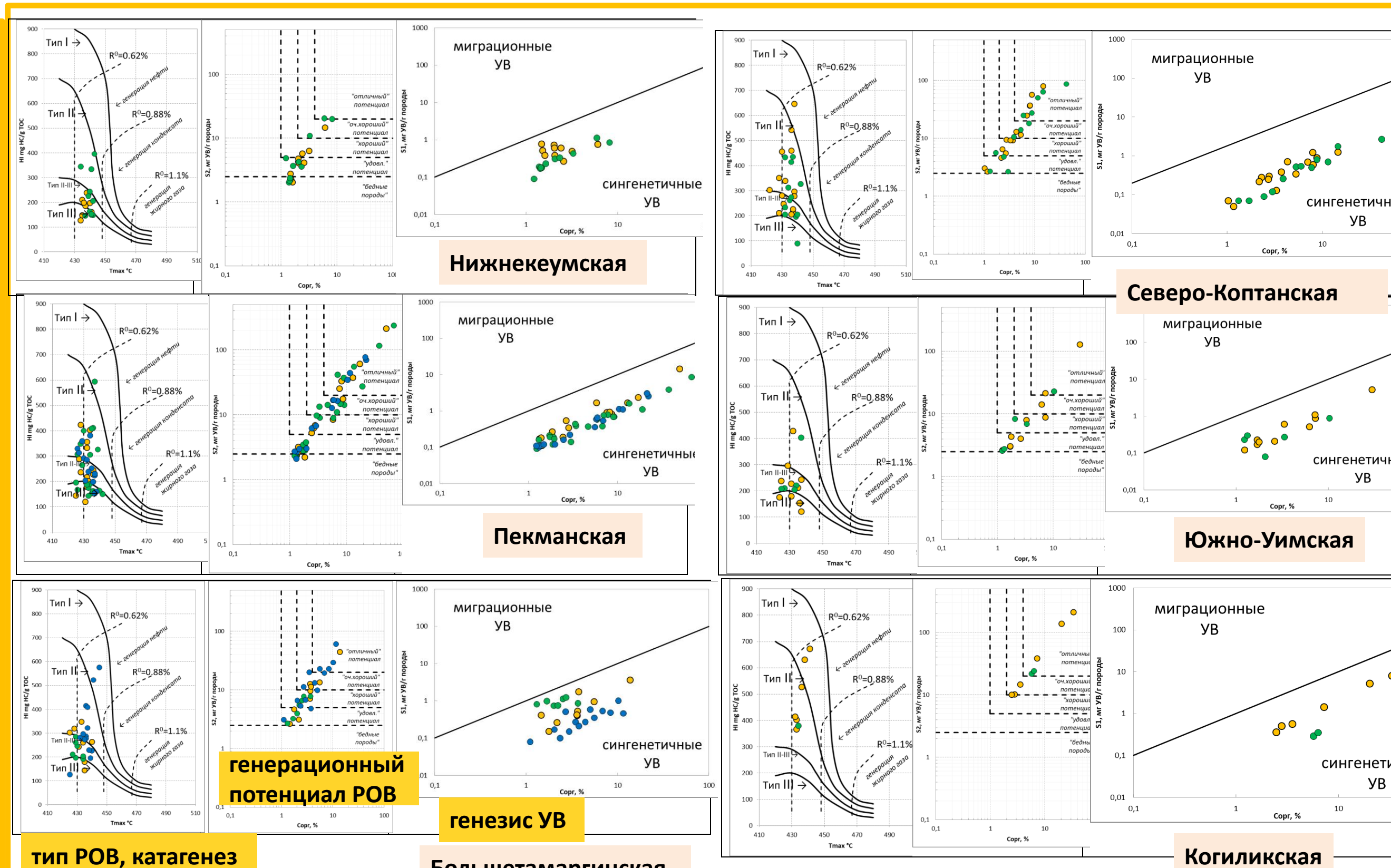
Битуминозное и углистое вещество в породах пласта Ю3 (метод РЭМ):

Линзы и капля битуминозного вещества зафиксированы в аргиллите с глубины 2840,8 м Южно-Уимской площади. Снимок с увеличением x1500.

Линзы битуминозного вещества присутствуют в аргиллите с глубины 2687,18 м Северо-Коптанской площади.

Увеличение x520.

Фрагмент углистого вещества отмечен в алевролите с глубины 3136,06 м Пекманской площади. увеличение 1500x.



сравнительная характеристика пиролитических параметров POB в породах пластов Ю2-Ю4

HI мкгУВ/ТОС	Ю2	Ю3	Ю4
Нижне-куемская Ю2	●	○	△
Нижне-куемская Ю3	●	○	△
Пекманская Ю2	●	○	△
Пекманская Ю3	●	○	△
Пекманская Ю4	●	○	△
Большешарматинская Ю2	●	○	△
Большешарматинская Ю3	●	○	△
Большешарматинская Ю4	●	○	△
Северо-Коптанская Ю2	●	○	△
Северо-Коптанская Ю3	●	○	△
Южно-Уимская Ю2	●	○	△
Южно-Уимская Ю3	●	○	△
Когилкинская Ю2	●	○	△
Когилкинская Ю3	●	○	△

Рис.2 Пиролитические параметры рассеянного органического вещества тюменской свиты

Fig.2 Pyrolytic parameters of dispersed organic matter of the Tyumen formation

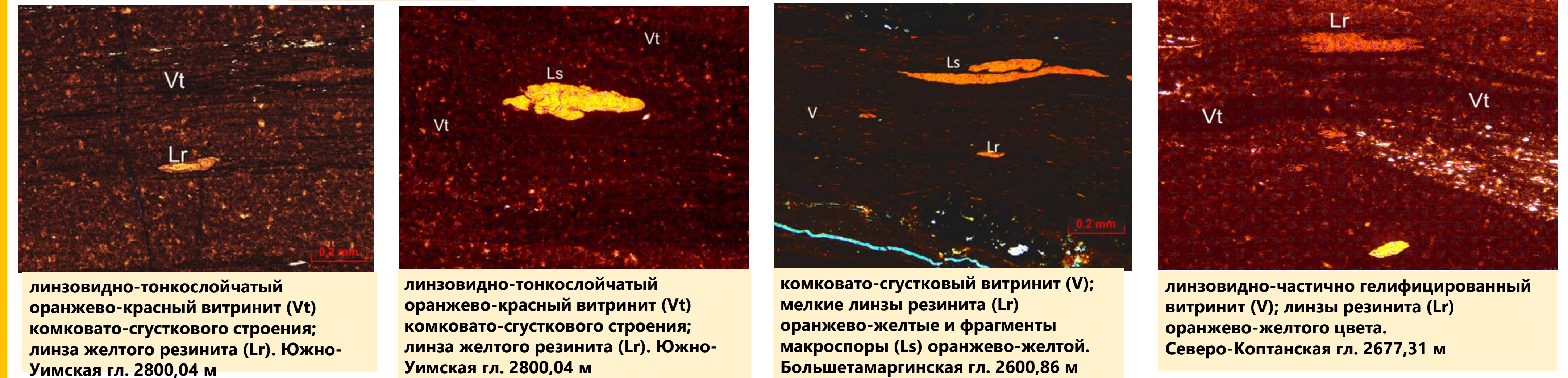


Рис.3 Липтинитовые компоненты в пласте Ю2 тюменской свиты

Fig.3 Liptinite in bed J2 of the Tyumen formation

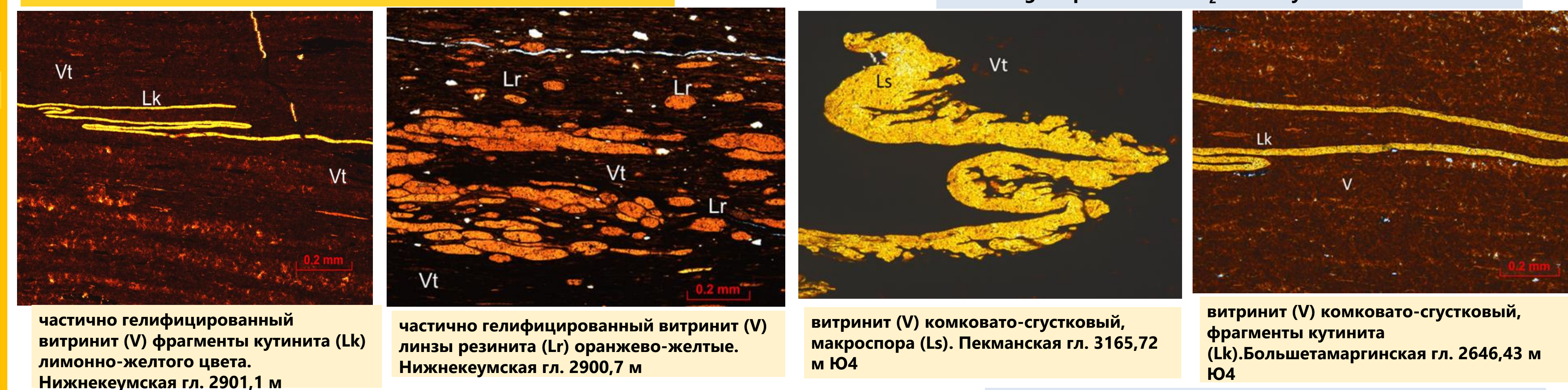


Рис.4 Липтинитовые компоненты в пластах Ю3 и Ю4 тюменской свиты

Fig.4 Liptinite in beds J3, J4 of the Tyumen formation



Рис.5 Битуминозное и углистое ОВ в пластах Ю2, Ю3, Ю4 тюменской свиты

Fig.5 Bituminous and carbonaceous S in beds J2, J3, J4 of the Tyumen Formation

CONCLUSIONS

- Во всех изученных скважинах УВ сингенетичны POB вмещающих пород.
- Битуминозное вещество кроме пласта Ю0, зафиксировано в пластах Ю2 и Ю3 методами пиролиза и РЭМ,
- POB пластов Ю0-Ю4 соответствует керогену смешанного состава II-III типов, катагенетически преобразовано до стадии МК11-МК12, имеет хороший генерационный потенциал и обладает способностью к генерации преимущественно углеводородов газа, и генерации некоторого количества жидких углеводородов.
- Абсолютно преобладающим микрокомпонентом в углистом веществе является витринит (80-90%) с комковато-сгустковой структурой, только частично гелифицированный. Эти признаки характеризуют слабую катагенетическую преобразованность POB до уровня мезокатагенеза МК1, и ранней зоны нефтеобразования, что свидетельствует о способности POB к генерации газа.
- Присутствие резинита в углистом веществе свидетельствует о способности POB к генерации некоторого объема нефтяных углеводородов.

REFERENCE MATERIALS:

Конторович А.Э. Черки теории нефтегенеза: Избранные статьи/ Науч. Ред. Д-р геол.-мин. Наук С.Г. Неручев.- Новосибирск: Из-во СО РАН, филиал «Гео», 2004.- с.47.
Крылова Н.М. Сарбеева Л.И. Петрографическая характеристика углей класса гелитолитов на различных стадиях регионального метаморфизма (Донецкий и Кузнецкий бассейны) //Вопросы метаморфизма углей и эпигенеза вмещающих пород. - Л.: Наука, 1968. С.68-87.
Петрографические типы углей СССР/Гинзбург А.И., Корженевская Е.С., Волкова И.Б. и др. -М.: Недра, 1975.-247с.
Палеогеография Западно-Сибирского осадочного бассейна в юрском периоде А.Э. Конторович и др.// Геология и геофизика, 2013, т. 54, № 8, с. 972–1012.
Фомин А.Н. Углететрографические исследования в нефтяной геологии. АН СССР, Сиб. Отд.Ин-т геологии и геофизики. Отв. ред. д.г.-м.н. В.С. Вышемирский. –Новосибирск, 1987.-166с.
Фомин А.Н. Катагенез органического вещества и нефтегазоносность мезозойских и палеозойских отложений Западно-Сибирского мегабассейна / Науч. ред. Академик А.Э. Конторович; Рос. Акад. Наук, Сиб. Отд.-ние, Ин-т нефтегазовой геологии и геофизики им. А.А. Трофимука. Новосибирск: 2011. ИНГГ СО РАН.-331с.
Марков В.В., Заночуев С.А., Рязанова Т.А. Способ выделения битумонасыщенных интервалов в карбонатных породах на основе результатов пиролитического исследования// Геология, геофизика и разработка нефтяных и газовых месторождений. – 2022.-№5(365).-С.32-35.